доклады академии наук армянской сср хелі

УДК 539.30

ТЕОРИЯ УПРУГОСТИ

С. Р. Сароян

Кручение прямоугольного стержня, в соосную круговую полость которого впаяна труба из другого материала

(Представлено чл.-корр. АН Армянской ССР О. М. Сапонджяном 21/V 1968)

Задача о кручении призматического стержня квадратного профиля, армированного круговым стержнем, была решена Ю. А. Амензаде (1).

Поставленная задача решается методом конформного отображения. Получены численные значения касательных напряжений и жесткостей для прямоугольников с различными соотношениями сторон.

1. Как известно (²), отображение внутренней области многоугольника на внутренность единичного круга |С|<1 осуществляется функцией Кристоффеля—Шварца

$$z = \omega(\zeta) = A \int_{0}^{z} (a_{1} - t)^{\alpha_{1} - 1} \cdot (a_{2} - t)^{\alpha_{2} - 1} \cdot \cdots \cdot (a_{n} - t)^{\alpha_{n} - 1} dt + B, \qquad (1.1)$$

где z и ζ — комплексные координаты соответственно для областей многоугольника и единичного круга $|\zeta|=1$; n — число сторон многоугольника; a_1, a_2, \cdots, a_n — комплексные координаты точек окружности единичного круга, соответствующих вершинам многоугольника; a_1, a_2, \cdots, a_n — измеренные в долях π внутренние углы многоугольника, а A и B — вообще комплексные постоянные, характеризующие положение многоугольника и его размеры.

В дальнейшем, следуя (3), будем представлять функцию (1.1) в

$$z = \omega \left(\zeta\right) = B_0 \sum_{k=1}^{\infty} B_k \zeta^k, \tag{1.2}$$

 B_0 — вообще комплексная постоянная, а коэффициенты B_k опредемются по рекуррентным соотношениям, полученным в (3):

$$B_{k} = \frac{1}{k(k-1)} \left[(k-1) B_{k-1} \sum_{s=1}^{n} \frac{1-\alpha_{s}}{a_{s}} + (k-2) B_{k-2} \sum_{s=1}^{n} \frac{1-\alpha_{s}}{a_{s}^{2}} + \dots + B_{1} \sum_{s=1}^{n} \frac{1-\alpha_{s}}{a_{s}^{k-1}} \right],$$

В рассматриваемой задаче производится отображение внутренней области криволинейного прямоугольника на внутренность единичного круга $|\zeta| < 1$. Известно (4), что для отображающей функции (1.2) при малых значениях $\rho < 1$ окружностям на плоскости ζ будут соответствовать замкнутые кривые на плоскости z, близкие к окружности. Поэтому (1.2) можно рассматривать как функцию, приближенно отображающую область, ограниченную извне криволинейным прямоугольником, а изнутри окружностью, на кольцо $\rho_3 < \rho < 1$.

Тогда контуры Γ_1 , Γ_2 и Γ_3 плоскости z отобразятся соответственно на окружности Γ_1 , Γ_2 и Γ_3 плоскости ζ . Для получения достаточно точного контура Γ_1 прямоугольника в отображающей функции (1.2)

взято 50 членов.

Внутренние контуры Γ_2 и Γ_3 независимо от внешнего контура Γ_1 , при малых $\rho_j < 1$ (j=2,3), близки к окружности с любой заданной точностью, которая возрастает с уменьшением $\rho_j < 1$ (j=2,3).

Так как в данной задаче производится отображение внутренней области прямоугольника, то в качестве исходных данных в (1.3) примем

$$n = 4;$$
 $a_1 = e^{i\varphi}, \ a_2 = -e^{-i\varphi}, \ a_3 = -e^{i\varphi}, \ a_4 = e^{-i\varphi};$
 $\alpha_1 = \alpha_2 = \alpha_3 = \alpha_4 = \frac{1}{9}.$ (1.4)

Задавая значения параметру φ и вычисляя по (1.3) с учетом (1.4) коэфрициенты B_k , получаем прямоугольники с разными отношениями сторон. В табл. 1 приведены значения отношения сторон прямоугольника в зависимости от параметра φ .

				Таблица 1
φ	0,25=	0,38	0,442	0,473π
h/b	1,0	1,5	2,0	2,5

2. Задача свободного кручения составных призматических стержней, состоящих из двух впаянных друг в друга брусьев при наличии полости, сводится к интегрированию уравнения

$$\nabla^{2}\Psi_{j} = -2 \ (j=1,2) \ (\nabla^{2} - \text{ оператор Лапласа})$$
 (2.1)

при следующих граничных условиях:

на
$$\gamma_1$$
 ($\rho=\rho_1=1$) $\Psi_1=0$, на γ_2 ($\rho=\rho_2$) $\mu_1\Psi_1=\mu_2\Psi_2$ и $Re\Phi_1=Re\Phi_2$, на γ_3 ($\rho=\rho_3$) $\Psi_2=C$.

С — постоянная, надлежащая определению.

Входящая в (2.1) $\Gamma_{(x,y)}$ — функция напряжений. Индекс j=1 имеет место для области сечения, ограниченной контурами Γ_1 и Γ_2 (соответствующий модуль сдвига μ_1), а индекс j=2 для области сечения, ограниченной контурами Γ_2 и Γ_3 (соответствующий модуль сдвига μ_2).

Представим функцию напряжений Ч (х, у) в комплексном виде:

$$\Psi_{j}(x, y) = -\frac{i}{2} \left[\Phi_{j}(z) - \overline{\Phi_{j}(z)} - iz \cdot \overline{z} \right], \qquad (2.3)$$

rae z = x + iy, z = x - iy.

функция

$$\Phi_j(z) = \varphi_j(x, y) + i\psi_j(x, y) \tag{2.4}$$

есть комплексный потенциал кручения, причем $\varphi_j(x, y)$ функция кручения, а $\psi_j(x, y)$ — функция, комплексно сопряженная с $\varphi_j(x, y)$.

Пусть функция

$$z = \omega(\zeta) = B_0 \sum_{k=1}^{N} B_k \zeta^k,$$
 (2.5)

составленная из первых N членов разложения (1.2), реализует отображение внутренней области криволинейного прямоугольника на внутренность единичного круга $|\zeta| < 1$. Подставляя (2.5) в (2.3), получим:

$$\Psi_{j} = -\frac{i}{2} \left[\Phi_{j}(\zeta) - \overline{\Phi_{j}(\zeta)} - i\omega(\zeta) \cdot \overline{\omega(\zeta)} \right]$$
 (2.6)

Функции $\Phi_1(\zeta)$ и $\Phi_2(\zeta)$, регулярные соответственно в кольцах $\chi < \rho < 1$ и $\rho_3 < \rho < \rho_2$, будем искать в виде

$$\Phi_1(\zeta) = \sum_{-\infty}^{+\infty} a_n \zeta^n, \qquad (2.7)$$

$$\Phi_2(\zeta) = \sum_{n=1}^{+\infty} b_n \zeta^n. \tag{2.8}$$

Фигурирующие в (2.7) и (2.8) коэффициенты a_n и b_n — чисто инимые.

Произведение $\frac{1}{2}\omega(\zeta)\cdot\overline{\omega(\zeta)}$, входящее в (2.5), на линиях $\rho=$ const, разложим в ряде Фурье;

$$\frac{1}{2}\omega(\zeta)\cdot\overline{\omega(\zeta)} = \alpha_0 + \sum_{n=1}^{N} (\alpha_n \cos n\theta + \beta_n \sin n\theta). \tag{2.9}$$

Вследствие симметрии поперечного сечения рассматриваемого стержня относительно оси x, коэффициенты B_* — в разложении (2.5) будут действительными. Поэтому коэффициенты ряда Фурье (2.9) бучиметь следующие значения:

$$\alpha_0 = \frac{1}{2} B_0^2 \sum_{k=1}^N B_k^2 \rho^{2k},$$

$$\alpha_n = B_0^2 \sum_{k=1}^{N-n} B_k B_{k+n} \rho^{2k+n}, \ \beta_n = 0.$$
(2.10)

Таблица 2		Таблица 3	
h/b	$K/\mu_1 B_0^4$	h/b	B_0/b
1,0 1,5 2,0 2,5	0,80625 1,01653 1,43054 1,95718	1,0 1,5 2,0 2,5	0,761493 0,871564 0,899630 0,914062

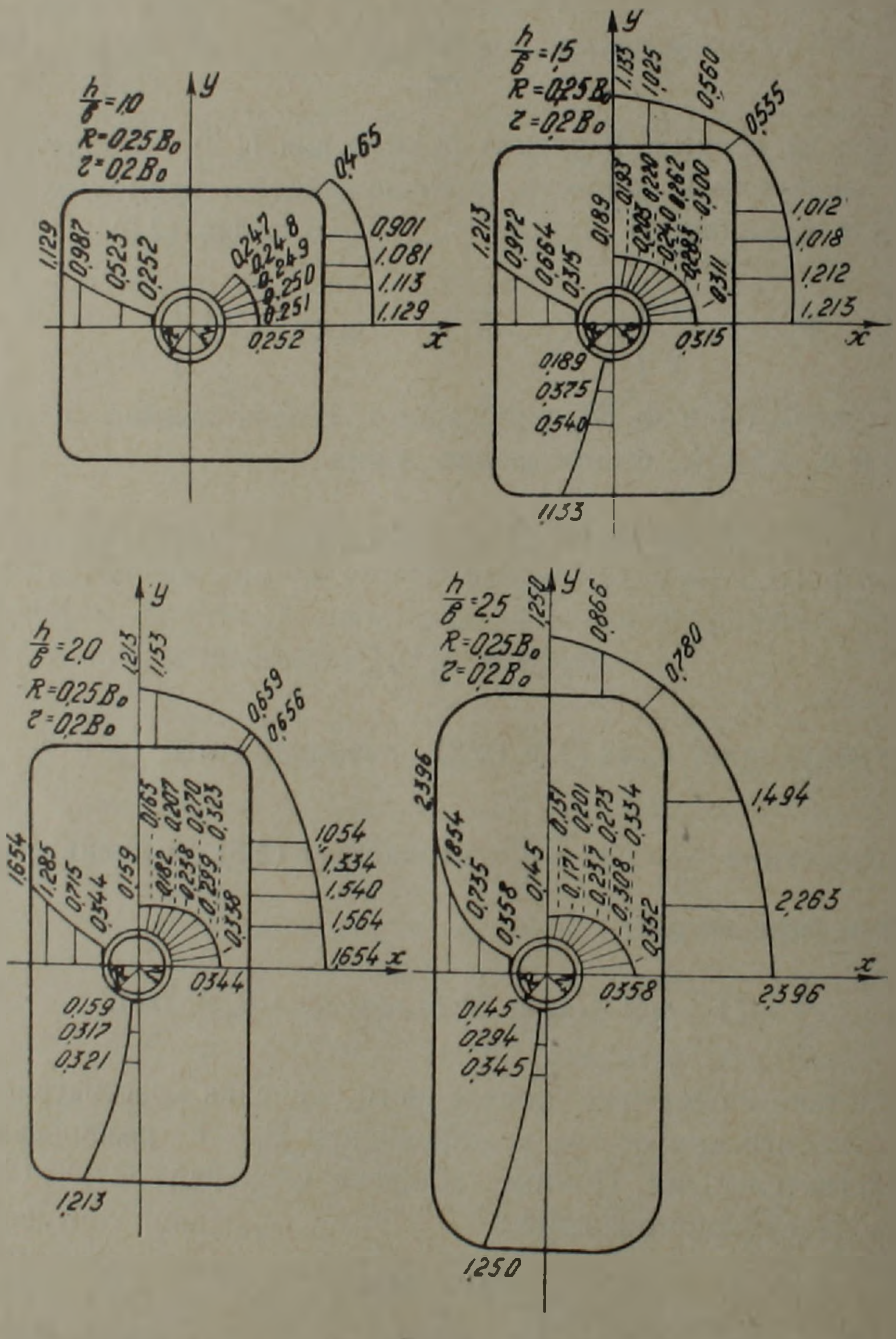


Рис. 1.

При $\rho = \rho_1 = 1$ коэффициенты α_0 и α_n будут снабжены сверху $\rho_{\text{индексом}} = \rho_1$ при $\rho = \rho_2$ — индексом ρ_2 а при $\rho = \rho_3$ — индексом ρ_3 .

удовлетворяя граничные условия (2.2), определяем коэффициен- a_n и b_n , фигурирующие в (2.7) и (2.8):

$$a_{n} = \frac{(\mu_{1} - \mu_{2}) (\rho_{3}^{2n} + \rho_{2}^{2n}) (\alpha_{n}^{(1)} - \alpha_{n}^{(2)} \rho_{2}^{n}) + (\alpha_{n}^{(1)} - \alpha_{n}^{(3)} \rho_{3}^{n}) \cdot 2\mu_{2} \rho_{2}^{2n}}{(\mu_{1} - \mu_{2}) (\rho_{3}^{2n} - \rho_{2}^{4n}) + (\mu_{1} + \mu_{2}) (1 - \rho_{3}^{2n}) \rho_{2}^{2n}},$$

$$a_{-n} = \alpha_{n}^{(1)} - a_{n},$$

$$b_{n} = \frac{\alpha_{n}^{(3)} \rho_{3}^{n} [(\mu_{1} - \mu_{2}) - (\mu_{1} + \mu_{2}) \rho_{2}^{2n}] + 2\mu_{1} \rho_{2}^{2n} \alpha_{n}^{(1)} - (\mu_{1} - \mu_{2}) (1 + \rho_{2}^{2n}) \alpha_{n}^{(2)} \rho_{2}^{n}}{(\mu_{1} - \mu_{2}) (\rho_{3}^{2n} - \rho_{2}^{4n}) + (\mu_{1} + \mu_{2}) (1 - \rho_{2}^{2n}) \rho_{2}^{2n}},$$

$$b_{-n} = \alpha_{n}^{(3)} \rho_{3}^{n} - b_{n} \rho_{3}^{2n}, \quad n = 1, 2, 3, \dots, N; \quad N = 50,$$

$$a_{0} = i\alpha_{0}^{(1)}; \quad b_{0} = i \frac{\mu_{1}\alpha_{0}^{(1)} - (\mu_{1} - \mu_{2}) \alpha_{0}^{(2)}}{\mu_{2}};$$

$$C = i \frac{\mu_{1}\alpha_{0}^{(1)} - (\mu_{1} - \mu_{2}) \alpha_{0}^{(2)}}{\mu_{2}} - \alpha_{0}^{(3)}. \quad (2.11)$$

3. Крутящий момент, приложенный к основанию стержня, равен $M = \tau \cdot K, \tag{3.1}$

где τ — степень закручивания, K — жестокость при кручении, Как известно (5),

$$K = \sum_{j=1}^{n} \left\{ \frac{\mu_{j}}{8i} \int_{\gamma_{j}} \overline{\omega(\sigma)^{2}} \omega(\sigma) d\omega(\sigma) - \frac{\mu_{j}}{8i} \int_{\gamma_{j}} \omega(\sigma)^{2} \overline{\omega(\sigma)} d\omega(\sigma) - \frac{\mu_{j}}{4} \int_{\gamma_{j}} \left[\Phi_{j}(\sigma) + \overline{\Phi_{j}(\sigma)} \right] d\omega(\sigma) \overline{\omega(\sigma)} \right\},$$

$$(3.2)$$

где σ — граничное значение переменной ζ ($\sigma \cdot \overline{\sigma} = \rho_J^2$, J = 1, 2, 3).

Согласно (⁵), касательные напряжения при кручении определяются по формуле:

$$T_{\rho}^{(j)} - i T_{\theta}^{(j)} = \frac{1}{|\varphi_{j}| |\omega|(\zeta) |\varphi_{j}|} [\Phi_{j}(\zeta) - i \overline{|\omega(\zeta)|} \cdot \omega'(\zeta)]. \tag{3.3}$$

Рассмотрим численный пример. Примем $\frac{\mu_2}{\mu_1}=8$, $\rho_2=0.25$, $\rho_3=0.2$. Радиусам ρ_2 и ρ_3 на плоскости ζ соответствуют радиусы R и r на

плоскости z, значения которых указаны на рис. 1. Значения жестко-

Эпюры касательных напряжений T_{θ} на внешнем контуре поперечного сечения, на границе спая двух материалов и осях симметрии

в долях μ_1 - B_0 приведены на рис. 1.

Принимая сторону прямоугольника, параллельную оси x за b, можно вычислить значения коэффициента B_0 для прямоугольников с разными отношениями сторон. Результаты вычислений сведены в табл. 3.

Ուղղանկյուն լայնական կաrվածքով ձողի ոլուումը, ուի համառանցք շրջանային խոռոչում զողված է ոււիշ նյութից պատւաստած խողովակ

Աշխատության մե դիտարկված է պրիղմատիկ ձողի ոլորում։ Չողի համառ<mark>անց</mark>ք շրջանալին խոռոշի մակերևույթով զոդված է ուրիշ նյութից պատրաստած խողովակ։

Ձողի լայնական կտրվածքը իրենից ներկայացնում է մի տիրույթ, որը արտաքինից սահ. մանափակված է կորագիծ ուղղանկյունով, իսկ ներսից՝ շրջանագծին բավականաչափ մոտ կորով։

Դիտարկվող խնդիրը լուծվում է կոնֆորմ արտապատկերումների մեթոդով։

Ուղղանկյան կողմերի տարբևր հարաբերությունների համար ստացված են շոշափող _{լա}. բումների և կոշտությունների թվային արժնքները։

ЛИТЕРАТУРА— ЧРИЧИВ ПРЕЗПРЕ

¹ Ю. А. Амензаде, "Известия АН АзербССР", серия физ.-тех. и хим. наук. 35—53, № 2 (1958). ² Л. В. Канторович и В. И. Крылов, Приближенные методы высшего анализа, Гостехтеориздат, М.—Л., 1952. ³ О. М. Сапонджян, "Известия АН АрмССР", серия физ.-мат., естеств. и техн. наук, т. 9 (1956). ⁴ Л. К. Капанян, Диссертация, Ереван, 1953. ⁵ Н. И. Мусхелишвили, Некоторые основные задачи математической теории упругости, Изд. АН СССР, М., 1954.